

# 算法设计与分析

Computer Algorithm Design & Analysis

---

2024.12

王多强

QQ: 1097412466

## Chapter 24

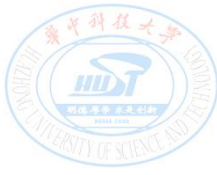
# Single-Source Shortest Paths

---

单源最短路径

## 本章主要内容：

- 1、Bellman-ford算法
- 2、Dijkstra算法
- 3、差分约束系统



# 1、最短路径问题

给定一个带权重的有向图  $G = (V, E)$  和权重函数  $w: E \rightarrow R$ 。

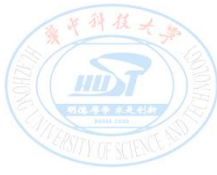
图中一条路径  $p = \langle v_0, v_1, \dots, v_k \rangle$  的权重  $w(p)$  是构成该路径的所有边的权重之和：

$$w(p) = \sum_{i=1}^k w(v_{i-1}, v_i)$$

从结点  $u$  到结点  $v$  的**最短路径权重**记为  $\delta(u, v)$ ，定义如下：

$$\delta(u, v) = \begin{cases} \min\{w(p) : u \xrightarrow{p} v\} & \text{if there is a path from } u \text{ to } v, \\ \infty & \text{otherwise.} \end{cases}$$

- ◆ 具有**最小权重的路径**称为**最短路径**。
- ◆ **最短路径问题**：就是求结点间的最短路径，包括**路径权重**和**路径上的结点序列**。



## ◆ 单源点最短路径问题：

给定一个图  $G = (V, E)$ ，找出从给定的**源点**  $s \in V$  到其它每个结点  $v \in V$  的最短路径。

## 2、最短路径的最优子结构

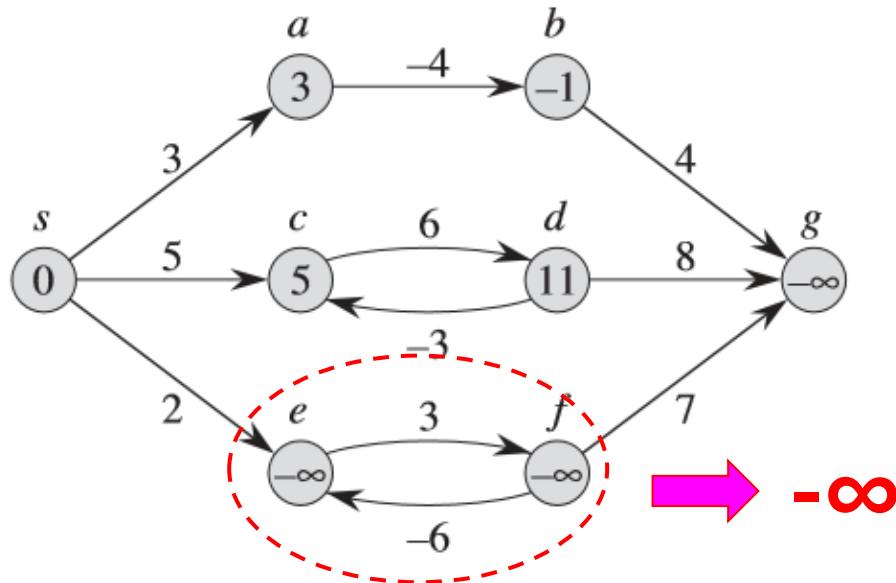
“这样”的最短路径具有**最优子结构性**：即两个结点之间的最短路径中的任何**子路径**都是最短的。

**引理24.1** 给定一个带权重的有向图  $G = (V, E)$  和权重函数  $w:E \rightarrow R$ 。设  $p = \langle v_0, v_1, \dots, v_k \rangle$  为从结点  $v_0$  到结点  $v_k$  的一条最短路径，并且对于任意的  $i$  和  $j$ ， $0 \leq i \leq j \leq k$ ，设  $p_{ij} = \langle v_i, v_{i+1}, \dots, v_j \rangle$  为路径  $p$  中从结点  $v_i$  到结点  $v_j$  的子路径，则  $p_{ij}$  是从结点  $v_i$  到结点  $v_j$  的一条最短路径。（剪切-粘贴法证明，略，见P375）

### 3、负权重的边

权重为**负值**的边称为**负权重的边**。

如果存在负权重的边，则有可能存在**权重为负值的环路**，而造成图中**最短路径无定义**（此时可在负权重环路中“**转圈**”而使得路径的权重为  $-\infty$ ）。



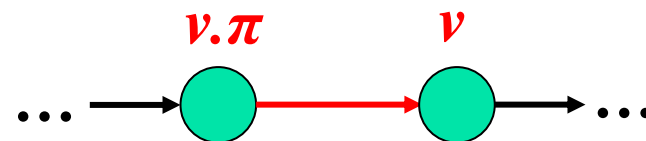
## 4、简单路径

- ◆ 如果一条路径中包含**两个相同的结点**，则该路径包含**环路**。
- ◆ **不包含环路的路径**称为**简单路径**。
- ◆ **最短路应为简单路径**，不包含环路。
  - 对任何简单路径，最多包含  $|V|$  个结点和  $|V| - 1$  条边。

不失一般性，假设后续算法寻找的最短路径都不包含环路。

## 5、前驱子图

记一个结点的前驱结点为： $v.\pi$



- ◆ 一个结点的前驱结点或者为 **NIL**（空，没有前驱结点）或者为另一个结点。

**前驱子图：**一个由源点  $s$  所诱导的**前驱子图**定义为  $G_\pi=(V_\pi, E_\pi)$ ，  
其中，

◆ **结点集合**  $V_\pi = \{ v \in V: v.\pi \neq NIL \} \cup \{s\}$

即  $V_\pi$  是源点  $s$  和图  $G$  中所有**有前驱结点的结点**的集合。

◆ **边集合**  $E_\pi = \{ (v.\pi, v) \in E: v \in V_\pi - \{s\} \}$

即  $E_\pi$  是由  $V_\pi$  中的结点  $v$  的  $\pi$  值所“诱导” (induced) 的边的集合，即 **“前驱边”** 构成的集合。

**$G_\pi$  性质：**单源点最短路径算法终止时， $G_\pi$  **是一棵最短路径树**。

该树包含了从源点  $s$  到  $s$  可达的每个结点的最短路径。

——**连通、无环图：树**。



一棵**根结点为  $s$  的最短路径树**是一个有向子图  $G'=(V', E')$ , 这里  $V' \subseteq V, E' \subseteq E$ 。且有以下性质:

- (1) 以  $s$  为根结点。
- (2)  $V'$  是图  $G$  中从源结点  $s$  出发可以到达的所有结点的集合 (包括源点  $s$ ) 。
- (3) 对于任意结点  $v \in V'$ , 图  $G'$  中**从结点  $s$  到结点  $v$  的唯一简单路径**是图  $G$  中**从结点  $s$  到结点  $v$  的一条最短路径**。

只有  $G$  不包含从  $s$  可以到达的权重为负值的环路时, 最短路径才有定义, 才有根结点为  $s$  的最短路径树。



## 5、松弛操作 (Relax)

对于每个结点  $v$ ，维持一个属性  $v.d$ ，记录从源点  $s$  到结点  $v$  的最短路径权重的上界，称  $v.d$  为  $s$  到  $v$  的最短路径估计。

以下过程 **INITIALIZE-SINGLE-SOURCE** 对每个结点的最短路径估计  $d$  和前驱结点  $\pi$  进行初始化：

```
INITIALIZE-SINGLE-SOURCE( $G, s$ )  
1  for each vertex  $v \in G.V$   
2       $v.d = \infty$   
3       $v.\pi = \text{NIL}$   
4   $s.d = 0$ 
```

初始化后，对所有的结点  $v \in V$  有，

- $v.\pi = \text{NIL}$ ;
- 源点  $s$  有  $s.d = 0$ ;
- 而其它结点  $v$  ( $v \in V - \{s\}$ ) 有：  
 $v.d = \infty$ 。

INITIALIZE-SINGLE-SOURCE 的时间： $\Theta(V)$

**松弛操作**：首先测试一下有没有从  $s$  经过另一个结点  $u$  和边  $(u, v)$  而到达  $v$  的更短的路径。如果有，则  $v.d$  更新为新的最短路径估计值，同时  $v$  的  $v.\pi$  更新为  $u$ ，作为它的新的前驱结点。

RELAX( $u, v, w$ )

```
1  if  $v.d > u.d + w(u, v)$ 
2       $v.d = u.d + w(u, v)$ 
3       $v.\pi = u$ 
```

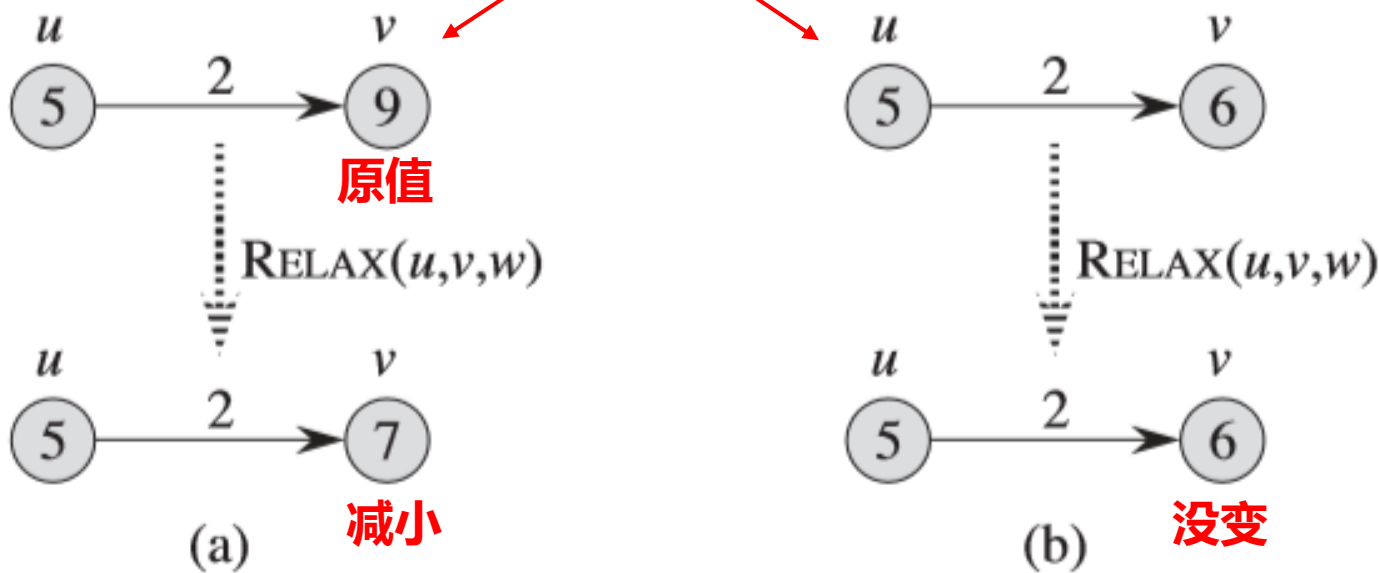
从  $s$  到  $u$  的最短路径权重估计是  $u.d$

RELAX 的时间： $O(1)$

含义：根据最短路径的最优子结构，从  $s$  出发、经过结点  $u$  及边  $(u, v)$  到达结点  $v$  的**最短路径权重估计**等于  $u.d + w(u, v)$ 。如果路径权重估计小于当前的  $v.d$ ，则代表有**一条更短的从  $s$  到达  $v$  的路径**，故更新  $v.d$  和  $v.\pi$ 。

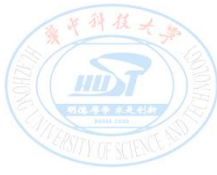
例:

圆圈中的数字表示每个结点的  $d$  值



对边  $(u, v)$  进行松弛操作, 权重  $w(u, v) = 2$ :

- (a)** 因为  $v.d > u.d + w(u, v)$ , 所以  $v.d$  的值减小了, 同时  $v.\pi = u$ 。
- (b)** 因为  $v.d \leq u.d + w(u, v)$ , 所以  $v.d$  的值没变,  $v.\pi$  也没有变化。



## 6、最短路径和松弛操作的相关性质

### (1) 三角不等式性质

**引理24.11** 设  $G = (V, E)$  为一个带权重的有向图，其权重函数为  $w: E \rightarrow \mathbb{R}$ ，设源结点为  $s$ ，那么对于所有的边  $(u, v) \in E$ ，有

$$\delta(s, v) \leq \delta(s, u) + w(u, v)$$

**证明：**

假定  $p$  是从源结点  $s$  到结点  $v$  的一条最短路径，则  $p$  的权重不会比任何从  $s$  到  $v$  的其它路径的权重大，因此路径  $p$  的权重也不会比这样的一条路径的权重更大：

**从源结点  $s$  到结点  $u$  的最短路径 + 边  $(u, v)$  而构成的  $s$  到  $v$  路径。**

而如果  $s$  到  $v$  没有最短路径，则不可能存在  $s$  到  $v$  的路径。 ■

(2) **上界性质**:  $v.d$  是  $s$  到  $v$  的最短路径权重  $\delta(s, v)$  的**上界**。

**引理24.11** 设  $G = (V, E)$  为一个带权重的有向图, 其权重函数为  $w:E \rightarrow R$ , 设源结点为  $s$ , 且该图由算法 INITIALIZE-SINGLE-SOURCE( $G, s$ ) 执行了初始化。那么对于所有的结点  $v \in V$ ,  $v.d \geq \delta(s, v)$ 。并且该不变式在对图  $G$  的边进行任何次序的松弛过程中都保持成立, 而且**一旦  $v.d$  取得其下界  $\delta(s, v)$  后, 将不再发生变化**。

用**数学归纳法**证明:

**基础步**: INITIALIZE-SINGLE-SOURCE( $G, s$ ) 中进行初始化时, 对于所有的结点  $v \in V - \{s\}$ , 置  $v.d = \infty$ , 而  $s.d = 0$ , 显然  $s.d \geq \delta(s, s)$ , 而其它的结点  $v.d \geq \delta(s, v)$ , 结论成立。



**归纳步**：考虑对边  $(u, v)$  的松弛操作。

假设在对边  $(u, v)$  进行松弛之前，对所有的结点  $x \in V$ ，都有

$$x.d \geq \delta(s, x)。$$

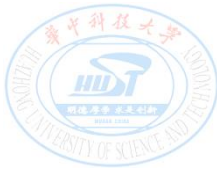
在**对边  $(u, v)$  进行松弛**时，唯一可能发生改变的值只有 **$v.d$** ，而如果该值发生变化，则有：

$$\begin{aligned} v.d &= u.d + w(u, v) \\ &\geq \delta(s, u) + w(u, v) \quad (\text{by the inductive hypothesis}) \\ &\geq \delta(s, v) \quad (\text{by the triangle inequality}) , \end{aligned}$$

同时，根据  $v.d$  的定义和计算的规则，在  **$v.d$  达到下界  $\delta(s, v)$**  后，就无法再减小（也不可能增加）。

引理得证。

```
RELAX( $u, v, w$ )  
1  if  $v.d > u.d + w(u, v)$   
2       $v.d = u.d + w(u, v)$   
3       $v.\pi = u$ 
```



### (3) 非路径性质

**推论24.12** 给定一个带权重的有向图  $G = (V, E)$ , 其权重函数为  $w:E \rightarrow R$ 。假定**从源结点  $s$  到给定点  $v$  之间不存在路径**, 则该图在由算法  $INITIALIZE-SINGLE-SOURCE(G, s)$  进行初始化后, 有

$$v.d \geq \delta(s, v) = \infty,$$

并且该等式作为不变式一直维持到图  $G$  的所有松弛操作结束。

**证明:**

因为**从源点  $s$  到给定点  $v$  之间不存在路径**, 所以  $\delta(s, v) = \infty$ 。

而根据**上界性质**, 总有  $v.d \geq \delta(s, v)$ , 所以,  $v.d \geq \delta(s, v) = \infty$ 。

得证。



**引理24.13** 设  $G = (V, E)$  是一个带权重的有向图，其权重函数为  $w:E \rightarrow R$ ，并且边  $(u, v) \in E$ 。那么在对边  $(u, v)$  进行松弛操作  $\text{RELAX}(u, v, w)$  后，有  $v.d \leq u.d + w(u, v)$ 。

**证明：**

如果在对边  $(u, v)$  进行**松弛操作前**，有  $v.d > u.d + w(u, v)$ ，则发生松弛时，置  $v.d = u.d + w(u, v)$ 。

如果在松弛操作前有  $v.d \leq u.d + w(u, v)$ ，则松弛操作并不会改变  $v.d$  的值，因此在松弛操作后仍有  $v.d \leq u.d + w(u, v)$ 。

得证。

```
RELAX( $u, v, w$ )  
1  if  $v.d > u.d + w(u, v)$   
2       $v.d = u.d + w(u, v)$   
3       $v.\pi = u$ 
```



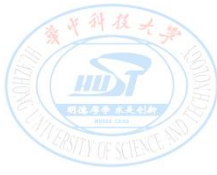
## (4) 收敛性质

**引理24.14** 设  $G = (V, E)$  为一个带权重的有向图，其权重函数为  $w : E \rightarrow R$ 。设  $s \in V$  为某个源结点， $s \rightsquigarrow u \rightarrow v$  为图  $G$  中**从  $s$  到  $v$  的一条最短路径**（从  $s$  经过  $u$  而到达  $v$ ， $u, v \in V$ ）。

假定图  $G$  由算法  $INITIALIZE-SINGLE-SOURCE(G, s)$  进行初始化，并在这之后进行了一**系列边的松弛操作**，其中包括对边  $(u, v)$  的松弛操作  **$RELAX(u, v, w)$** 。

如果在对  $(u, v)$  进行松弛操作之前的某时刻有  **$u.d = \delta(s, u)$** ，  
则在该**松弛操作之后的所有时刻**有  **$v.d = \delta(s, v)$** 。

即：算法最后能收敛于找到  $s$  到  $v$  的最短路径的状态（**至少能够找到从  $s$  经过  $u$  而到达  $v$  的最短路径**）。



**证明:**

根据**上界性质**有：如果在对边  $(u, v)$  进行松弛前的某个时刻有  $u.d = \delta(s, u)$ ，则**该等式在任何松弛之后仍然成立**（一直保持）。

那么在对边  $(u, v)$  进行松弛时将有，

$$\begin{aligned} v.d &\leq u.d + w(u, v) && \text{(by Lemma 24.13)} \\ &= \delta(s, u) + w(u, v) \\ &= \delta(s, v) && \text{(by Lemma 24.1) .} \end{aligned}$$

**最短路的最优子结构性**

而根据上界性质又有  $v.d \geq \delta(s, v)$ 。所以有  $v.d = \delta(s, v)$ ，根据**上界性质**，该等式在此之后一直保持成立。

得证。



## (5) 路径松弛性质

**引理24.15** 设  $G = (V, E)$  为一个带权重的有向图，其权重函数为  $w:E \rightarrow R$ 。设  $s \in V$  为某个源结点，考虑**从源结点  $s$  到结点  $v_k$  的任意一条最短路径**  $p = \langle v_0, v_1, v_2, \dots, v_k \rangle$ ,  $v_0 = s$ 。

如果图  $G$  由算法  $INITIALIZE-SINGLE-SOURCE(G, s)$  进行初始化，并在这之后进行了一系列边的松弛操作，其中包括对边  $(v_0, v_1)$ 、 $(v_1, v_2)$ 、 $\dots$ 、 $(v_{k-1}, v_k)$  按照**所列次序**而进行的一系列松弛操作，则在所有这些松弛操作之后，有  $v_k.d = \delta(s, v_k)$ ，并且在此之后该等式一直保持。

并且该性质的成立与其他边的松弛操作及次序无关，即使这些松弛操作是与对  $p$  上的边所进行的松弛操作穿插进行的。

**用归纳法证明：**从  $0 \sim k$ ，在对第  $i$  条边松弛之后有  $v_i.d = \delta(s, v_i)$ 。

**基础步：**从初始化算法可以得出： $v_0.d = s.d = \delta(s, s)$ ，所以在对路径  $p$  的任何一条边进行松弛操作之前 ( $i = 0$ ) 结论成立。且  $s.d$  的取值在此之后不再发生变化。

**归纳步：**假定依次经过  $(v_0, v_1)$ 、 $(v_1, v_2)$ 、...、 $(v_{i-2}, v_{i-1})$  松弛操作之后有  $v_{i-1}.d = \delta(s, v_{i-1})$ ，即**对  $v_1 \sim v_{i-1}$  都找到了最短路**。

则在对边  $(v_{i-1}, v_i)$  进行松弛操作时，根据**收敛性质**，松弛后必有  $v_i.d = \delta(s, v_i)$ ，并且该等式在此之后一直保持成立。

得证。



## 24.1 Bellman-ford算法

Bellman-ford算法可以求解**一般情况**下的单源点最短路径问题

—— **可以有负权重的边，但不能有负权重的环。**

设  $G = (V, E)$  为一个带权重的有向图，权重函数为  $w:E \rightarrow R$ 。

$s \in V$  为源结点。

BELLMAN-FORD( $G, w, s$ )

```
1  INITIALIZE-SINGLE-SOURCE( $G, s$ )
2  for  $i = 1$  to  $|G.V| - 1$ 
3      for each edge  $(u, v) \in G.E$ 
4          RELAX( $u, v, w$ )
5  for each edge  $(u, v) \in G.E$ 
6      if  $v.d > u.d + w(u, v)$ 
7          return FALSE
8  return TRUE
```

Bellman-ford算法通过对所有的边反复进行松弛操作来**渐近地降低从源点  $s$  到每个结点  $v$  的最短路径的估计值  $v.d$** ，直到该估计值与实际的最短路径权重  $\delta(s, v)$  相同时为止。

算法返回TRUE当且仅当图  $G$  中不包含从源结点可达的权重为负值的环路



## 24.1 Bellman-ford算法

Bellman-ford算法可以求解一般情况下的单源最短路径问题

——可以有负权重的边，但不能有负权重的环

设  $G = (V, E)$  为一个带权图， $s \in V$  为源结点。

INITIALIZE-SINGLE-SOURCE( $G, s$ )

```
1  for each vertex  $v \in G.V$ 
2       $v.d = \infty$ 
3       $v.\pi = \text{NIL}$ 
4   $s.d = 0$ 
```

$w: E \rightarrow R$ 。

BELLMAN-FORD( $G, w, s$ )

```
1  INITIALIZE-SINGLE-SOURCE( $G, s$ )
2  for  $i = 1$  to  $|G.V| - 1$ 
3      for each edge  $(u, v) \in G.E$ 
4          RELAX( $u, v, w$ )
5  for each edge  $(u, v) \in G.E$ 
6      if  $v.d > u.d + w(u, v)$ 
7          return FALSE
8  return TRUE
```

Bellman-ford算法通过对所有的边

RELAX( $u, v, w$ )

```
1  if  $v.d > u.d + w(u, v)$ 
2       $v.d = u.d + w(u, v)$ 
3       $v.\pi = u$ 
```

路径长度 $O(s, v)$ 相同的方式。

算法返回TRUE当且仅当图 $G$ 中不包含源结点可达的权重为负值的环路。

$v.d = \delta(s, v)$   
 $v.\pi = u$

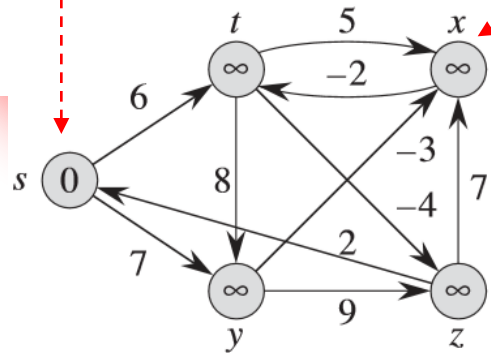
```

RELAX( $u, v, w$ )
1  if  $v.d > u.d + w(u, v)$ 
2       $v.d = u.d + w(u, v)$ 
3       $v.\pi = u$ 

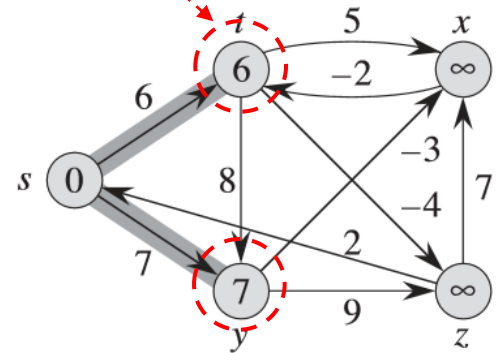
```

源结点:  $s$

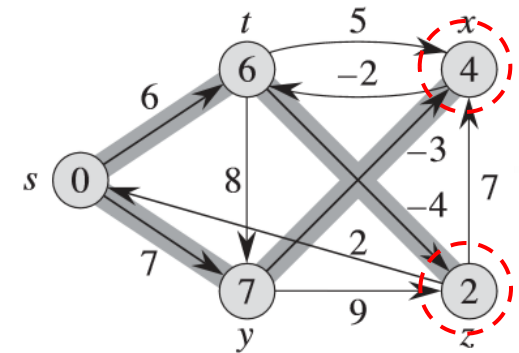
结点中的数值是结点的  $d$  值



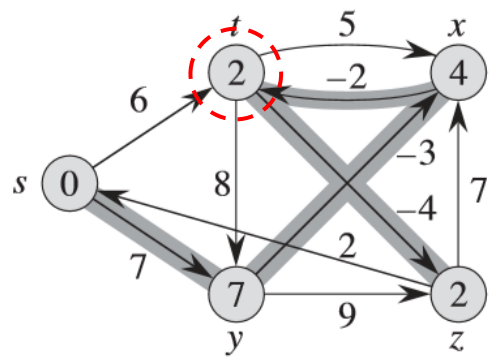
(a) 初始化后



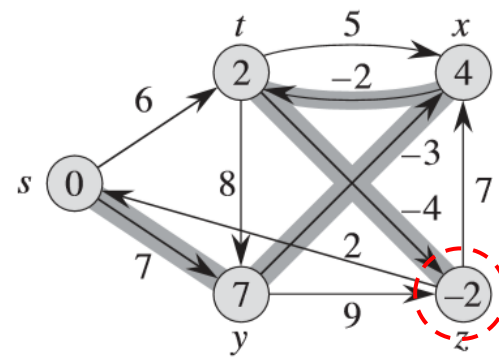
(b) 第一次松弛操作后



(c) 第二次松弛操作后



(d) 第三次松弛操作后



(e) 第四次松弛操作后

初始化后, *for* 循环将执行  $|V|-1$  次, 每次对所有的边进行一次松弛处理。因此算法对图中每条边进行了  $|V|-1$  次松弛处理。

**松弛边的顺序:**  $(t, x), (t, y), (t, z), (x, t), (y, x), (y, z), (z, x), (z, s), (s, t), (s, y)$

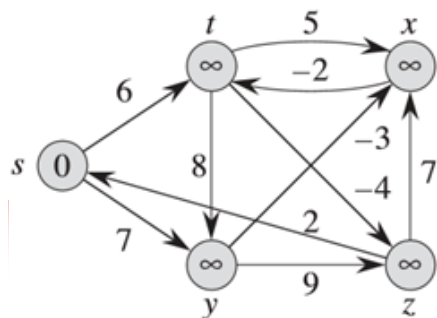
- **加了阴影的边表示前驱值:** 如果边  $(u, v)$  加了阴影, 则  $v.\pi = u$ 。
- 本例中 **Bellman-ford** 算法执行 4 次松弛操作后返回 **TRUE**。



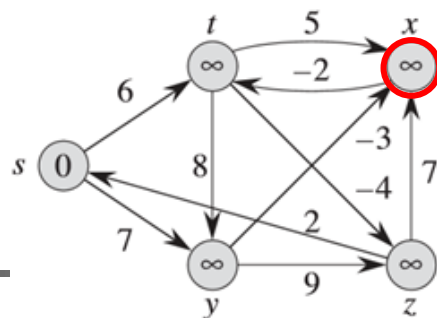
# 第一次松弛的过程

$(t, x), (t, y), (t, z), (x, t), (y, x), (y, z), (z, x), (z, s), (s, t), (s, y)$

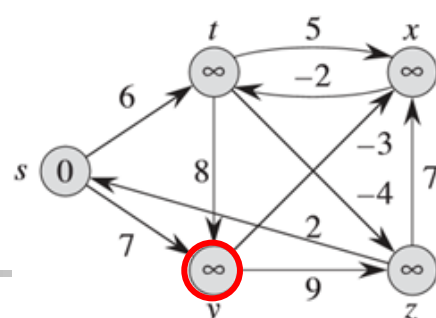
```
RELAX( $u, v, w$ )
1  if  $v.d > u.d + w(u, v)$ 
2     $v.d = u.d + w(u, v)$ 
3     $v.\pi = u$ 
```



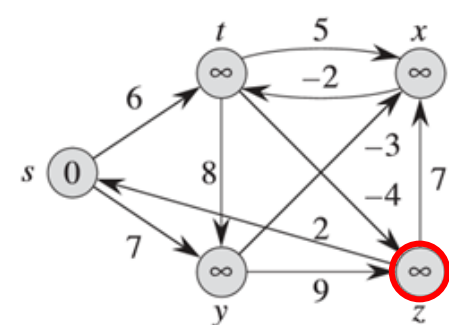
a) 初始化后



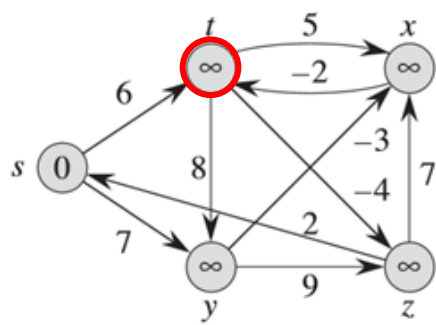
b.1) 对边(t,x)进行松弛



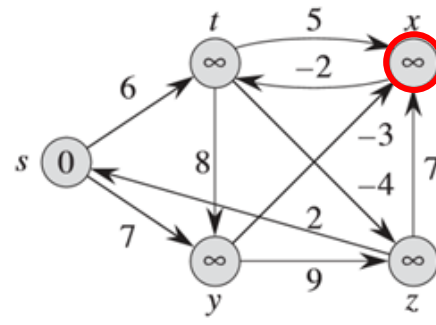
b.2) 对边(t,y)进行松弛



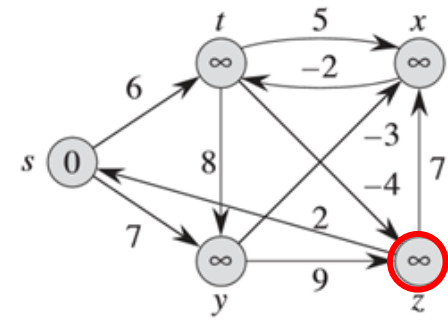
b.3) 对边(t,z)进行松弛



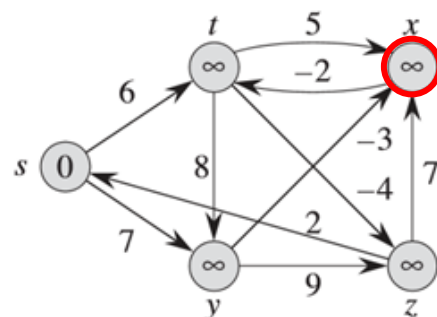
b.4) 对边(x,t)进行松弛



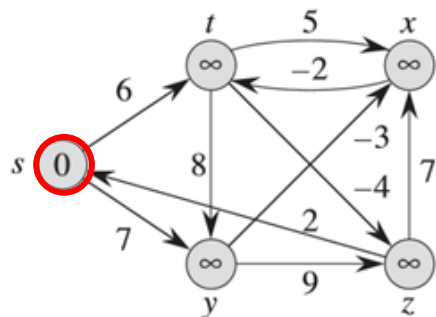
b.5) 对边(y,x)进行松弛



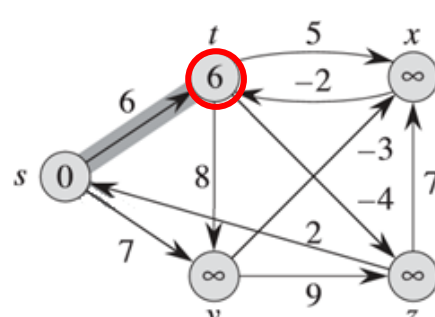
b.6) 对边(y,z)进行松弛



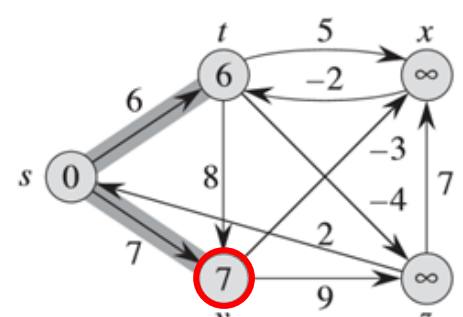
b.7) 对边(z,x)进行松弛



b.8) 对边(z,s)进行松弛



b.9) 对边(s,t)进行松弛

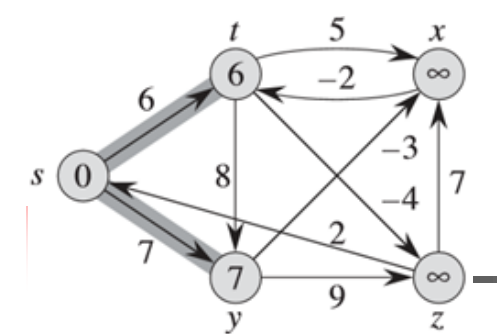


b.10) 对边(s,y)进行松弛

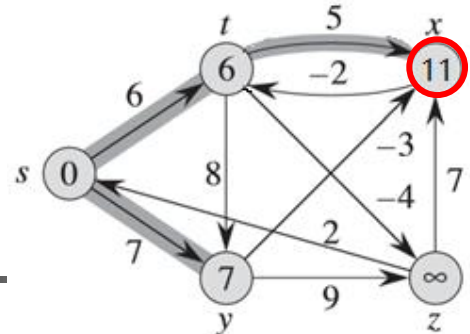
■ 加了阴影的边表示前驱值: 如果边  $(u, v)$  加了阴影, 则  $v.\pi = u$

# 第二次松弛的过程

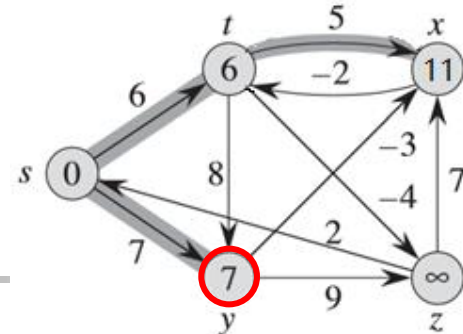
$(t, x), (t, y), (t, z), (x, t), (y, x), (y, z), (z, x), (z, s), (s, t), (s, y)$



b) 第一次松弛操作后

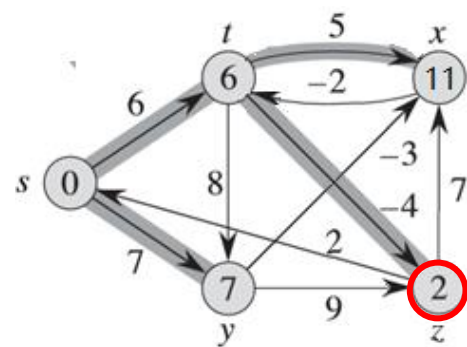


c.1) 对边(t,x)进行松弛

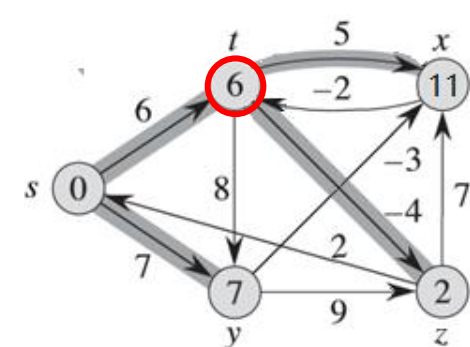


c.2) 对边(t,y)进行松弛

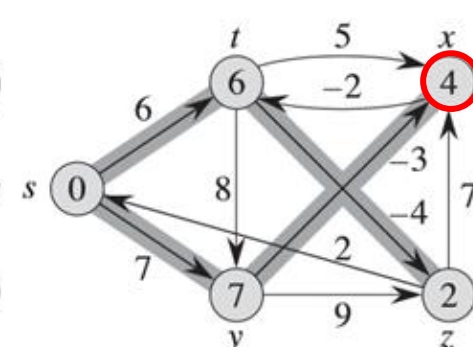
```
RELAX(u, v, w)
1  if v.d > u.d + w(u, v)
2    v.d = u.d + w(u, v)
3    v.π = u
```



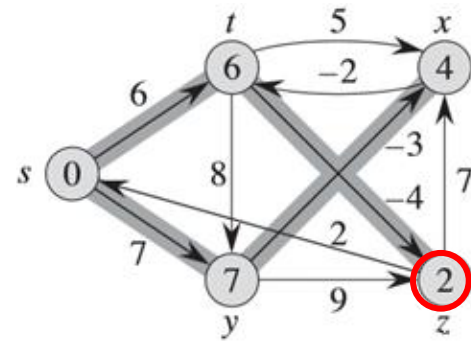
c.3) 对边(t,z)进行松弛



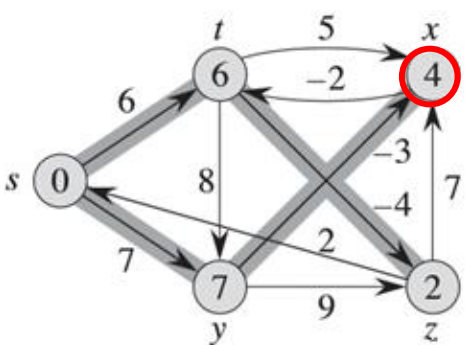
c.4) 对边(x,t)进行松弛



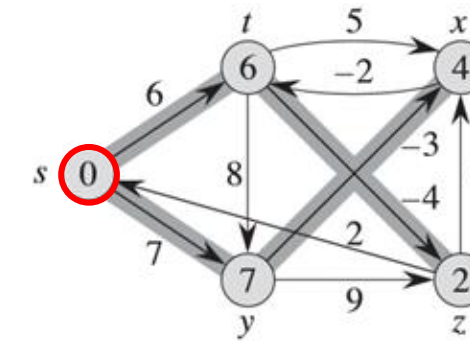
c.5) 对边(y,x)进行松弛



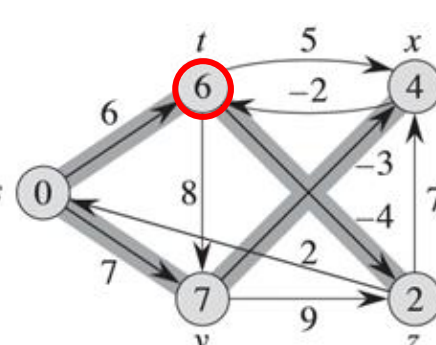
c.6) 对边(y,z)进行松弛



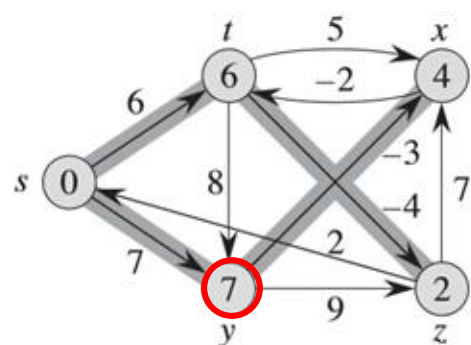
c.7) 对边(z,x)进行松弛



c.8) 对边(z,s)进行松弛



c.9) 对边(s,t)进行松弛



c.10) 对边(s,y)进行松弛

■ 加了阴影的边表示前驱值：如果边  $(u, v)$  加了阴影，则  $v.π = u$ 。

## ◆ Bellman-ford算法的运行时间

初始化:  $\Theta(V)$   $\longrightarrow$

松弛处理: *for* 循环执行  $|V| - 1$  次,  
每次循环是  $\Theta(E)$

BELLMAN-FORD( $G, w, s$ )

```
1 INITIALIZE-SINGLE-SOURCE( $G, s$ )
2 for  $i = 1$  to  $|G.V| - 1$ 
3   for each edge  $(u, v) \in G.E$ 
4     RELAX( $u, v, w$ )
5   for each edge  $(u, v) \in G.E$ 
6     if  $v.d > u.d + w(u, v)$ 
7       return FALSE
8 return TRUE
```

$\Theta(E)$

- Bellman-ford算法总的运行时间是  $O(VE)$ 。

INITIALIZE-SINGLE-SOURCE( $G, s$ )

```
1 for each vertex  $v \in G.V$ 
2    $v.d = \infty$ 
3    $v.\pi = \text{NIL}$ 
4  $s.d = 0$ 
```

$\Theta(V)$

RELAX( $u, v, w$ )

```
1 if  $v.d > u.d + w(u, v)$ 
2    $v.d = u.d + w(u, v)$ 
3    $v.\pi = u$ 
```

$\Theta(1)$

- ◆ Bellman-ford算法是一个动态规划算法:

**for all**  $u \quad v.d = \min(v.d, u.d + w(u, v))$

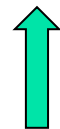


# Bellman-ford算法的证明

设  $G = (V, E)$  为一个带权重的源点为  $s$  的有向图，其权重函数为  $w:E \rightarrow \mathbb{R}$ ，并假定图  $G$  中不包含从源结点  $s$  可以到达的权重为负值的环路。

**引理24.2** Bellman-ford算法的第2~4行的 *for* 循环在执行了  $|V| - 1$  次后，对于所有从源结点  $s$  可以到达的结点  $v$  有  $v.d = \delta(s, v)$ .

```
BELLMAN-FORD( $G, w, s$ )
1  INITIALIZE-SINGLE-SOURCE( $G, s$ )
2  for  $i = 1$  to  $|G.V| - 1$ 
3      for each edge  $(u, v) \in G.E$ 
4          RELAX( $u, v, w$ )
5  for each edge  $(u, v) \in G.E$ 
6      if  $v.d > u.d + w(u, v)$ 
7          return FALSE
8  return TRUE
```



$v.d$  到达下界

证明：(使用**路径松弛性质**证明)

考虑任意从源结点  $s$  可以到达的结点  $v$ 。设  $p = \langle v_0, v_1, \dots, v_k \rangle$  **是从结点  $s$  到结点  $v$  的任意一条最短路径**，这里  $v_0 = s$ ， $v_k = v$ 。

因为最短路径是简单路径，所以  $p$  中最多包含  $|V| - 1$  条边，故  $k \leq |V| - 1$ 。

而对于路径  $p$ ，一定是**先求出  $v_0$  到最近的结点  $v_1$  的最短子路径**，再依次由近及远地求出到  $v_2$ 、 $v_3$ ...，直到  $v_k$  的最短子路径。所以对各条边松弛时将严格按照  $(v_0, v_1)$ 、 $(v_1, v_2)$ 、...、 $(v_{k-1}, v_k)$  的顺序进行的。

而算法第 2 ~ 4 行的 *for* 循环每次都对所有  $|E|$  条边进行松弛，所以也包含对上述各条边的松弛，那么根据**路径松弛性质**，在执行  $|V| - 1$  次循环之后必有： $v.d = v_k.d = \delta(s, v_k) = \delta(s, v)$ 。得证。

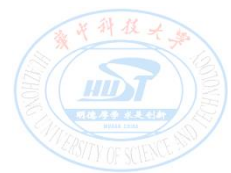
**引理24.3** 对所有结点  $v \in V$ , 存在一条从源结点  $s$  到结点  $v$  的路径**当且仅当**Bellman-ford算法终止时有  $v.d < \infty$ 。

证明: (略)

**定理24.4** (Bellman-ford算法的正确性) 设Bellman-ford算法运行在一个带权重的源点为  $s$  的有向图  $G = (V, E)$  上, 其权重函数为  $w: E \rightarrow R$ 。

如果图  $G$  中**不包含从源结点  $s$  可以到达的权重为负值的环路**, 则算法将返回 **TRUE**, 且对于所有结点  $v \in V$ , 前驱子图  $G_\pi$  是一个根结点为  $s$  的最短路径树。

而如果图  $G$  中**包含一条从源结点  $s$  可以到达的权重为负值的环路**, 则算法将返回**FALSE**。



## 定理24.4 (Bellman-ford算法的正确性) 的证明:

1) **首先证明**: 如果图  $G$  中不包含从源结点  $s$  可以到达的权重为负值的环路, 则算法将返回 **TRUE**, 且对于所有结点  $v \in V$ , 前驱子图  $G_\pi$  是一个根结点为  $s$  的最短路径树。

证明:

(1) 证明: **对于所有结点  $v \in V$ , 在  $|V| - 1$  次松弛结束时, 有  $v.d = \delta(s, v)$ 。**

如果**结点  $v$  是从  $s$  可以到达**的, 则论断可以从**引理24.2**得到证明。而如果**结点  $v$  不能从  $s$  达到**, 则论断可以从**非路径性质**获得。所以**对于所有结点  $v \in V$ , 在  $|V| - 1$  次松弛结束时**有  $v.d = \delta(s, v)$ 。

(2) 综合前驱子图性质和本论断, 可以推导出  **$G_\pi$  是一棵最短路径树**。



图  $G$  中不包含从源结点  $s$  可以到达的权重为负值的环路时

(3) 终止时，算法是否返回 **TRUE**?

**$|V| - 1$  次松弛**终止时，对所有的边  $(u, v) \in E$ ，有

$$\begin{aligned} v.d &= \delta(s, v) \\ &\leq \delta(s, u) + w(u, v) \quad (\text{by the triangle inequality}) \\ &= u.d + w(u, v), \end{aligned}$$

而  $G$  中不包含从源结点  $s$  可以到达的权重为负值的环路。因此，算法第6行中**没有任何测试**可以让算法返回 **FALSE**，故**最后一定返回TRUE值**。

```
BELLMAN-FORD( $G, w, s$ )
1  INITIALIZE-SINGLE-SOURCE( $G, s$ )
2  for  $i = 1$  to  $|G.V| - 1$ 
3      for each edge  $(u, v) \in G.E$ 
4          RELAX( $u, v, w$ )
5  for each edge  $(u, v) \in G.E$ 
6      if  $v.d > u.d + w(u, v)$ 
7          return FALSE
8  return TRUE
```



2) 然后证明：如果图  $G$  中包含一条从源结点  $s$  可以到达的权重为负值的环路，则算法将返回 **FALSE**。

**证明：**

假定图  $G$  包含一个权重为负值的环路，并且该环路可以从源结点  $s$  到达。设该环路为  $c = \langle v_0, v_1, \dots, v_k \rangle$ ，这里  $v_0 = v_k$ 。

因为环路的权重为负值，所以有：

$$\sum_{i=1}^k w(v_{i-1}, v_i) < 0 \quad (24.1)$$



## 反证法证明:

假设此种情况下Bellman-ford算法还是返回TRUE值。

由于对所有的  $i = 1, 2, \dots, k$  有

$$v_i.d \leq v_{i-1}.d + w(v_{i-1}, v_i)$$

现在将**环路  $c$**  上的所有这种不等式都加起来, 有:

$$\begin{aligned} \sum_{i=1}^k v_i.d &\leq \sum_{i=1}^k (v_{i-1}.d + w(v_{i-1}, v_i)) \\ &= \sum_{i=1}^k v_{i-1}.d + \sum_{i=1}^k w(v_{i-1}, v_i) \end{aligned}$$

由于  $v_0 = v_k$ , 环路  $c$  上面的每个结点在  $\sum_{i=1}^k v_i.d$  和  $\sum_{i=1}^k v_{i-1}.d$  中

都刚好各出现一次。因此有:

$$\sum_{i=1}^k v_i \cdot d = \sum_{i=1}^k v_{i-1} \cdot d$$

$$\begin{aligned} \sum_{i=1}^k v_i \cdot d &\leq \sum_{i=1}^k (v_{i-1} \cdot d + w(v_{i-1}, v_i)) \\ &= \sum_{i=1}^k v_{i-1} \cdot d + \sum_{i=1}^k w(v_{i-1}, v_i) \end{aligned}$$

进而有： $0 \leq \sum_{i=1}^k w(v_{i-1}, v_i)$

这与  $\sum_{i=1}^k w(v_{i-1}, v_i) < 0$  矛盾（负权重的环路，边的权值之和应小于0）。

综上所述，如果图  $G$  中不包含从源结点  $s$  可以到达的权重为负值的环路，则算法将返回 **TRUE**，否则返回 **FALSE**。 得证。



## 24.3 Dijkstra算法

**Dijkstra算法**也是求解带权重有向图单源最短路径问题的算法，但该算法要求**图中不能有负权重的边和环**，**所有边的权重必须为非负值**。但该算法是贪心算法，速度块。

DIJKSTRA( $G, w, s$ )

```
1 INITIALIZE-SINGLE-SOURCE( $G, s$ )
2  $S = \emptyset$ 
3  $Q = G.V$ 
4 while  $Q \neq \emptyset$ 
5      $u = \text{EXTRACT-MIN}(Q)$ 
6      $S = S \cup \{u\}$ 
7     for each vertex  $v \in G.Adj[u]$ 
8         RELAX( $u, v, w$ )
```

对所有结点的  $d$  值和  $\pi$  值初始化,  $s.d = 0$ .

算法维护一个结点集合  $S$ ，集合中的每个结点都已经求出从  $s$  到该结点的最短路径。

对  $Q$  初始化

$Q$  是一个**最小优先队列**，保存结点集  $V-S$ ，**按结点的  $d$  值排序**。算法每次从  $Q$  中选择当前最短路径估计( $d$ )最小的结点  $u$ ，将  $u$  从  $Q$  中删除，并加入到  $S$  中， $u.d$  就是源结点  $s$  到  $u$  的最短路径的长度。

仅对所有从  $u$  出发的边进行松弛。  
然后重复上述过程，直到  $Q = \emptyset$ 。

Dijkstra算法是一个贪心算法：每次总是选择  $V - S$  集合中最短路径估计值最小的结点加入  $S$  中。

DIJKSTRA( $G, w, s$ )

```
1 INITIALIZE-SINGLE-SOURCE( $G, s$ )
2  $S = \emptyset$ 
3  $Q = G.V$ 
4 while  $Q \neq \emptyset$ 
5      $u = \text{EXTRACT-MIN}(Q)$ 
6      $S = S \cup \{u\}$ 
7     for each vertex  $v \in G.Adj[u]$ 
8         RELAX( $u, v, w$ )
```

$s.d = 0$ ,  $s$  是从  $Q$  中第一个被选中的结点

每个结点有且仅有一次机会从  $Q$  中被提取出来并加入  $S$  中。而一旦  $u$  被从  $Q$  中提取出来,  $u.d$  就是  $s$  到  $u$  的最短路径长度 (且不再改变)。

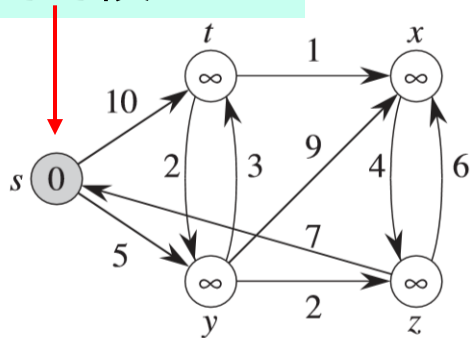
$u$  加入  $S$  后, 对从  $u$  出发的边  $(u, v)$  进行松弛。而如果  $v.d$  变小, 则是因为存在一条从  $s$  经过  $u$  到达  $v$  的更短路径所致。此时, 修改  $v.d = u.d + w(u, v)$ ,  $v.\pi = u$ , 即  $v$  结点的新前驱为  $u$ 。

*while* 循环总共执行了  $|V|$  次

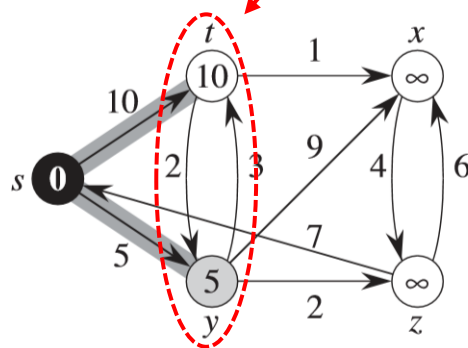
结点中的数值是  $s$  到该结点的最短路径的估计值

源结点:  $s$

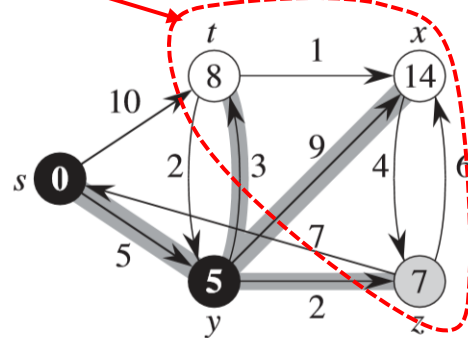
开始的时候  $s \in S$



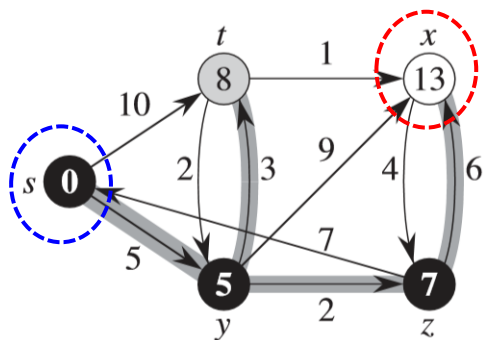
(a)



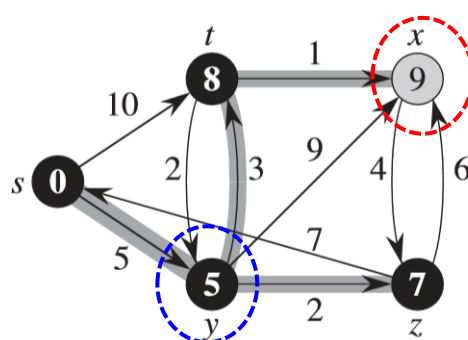
(b)



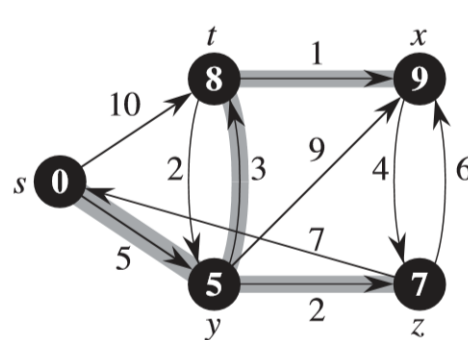
(c)



(d)



(e)



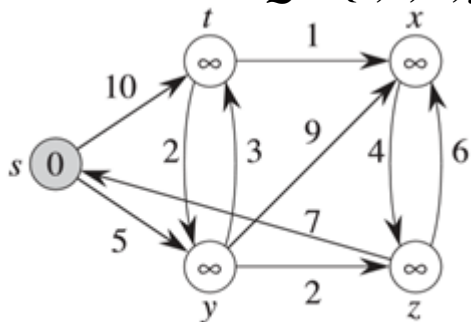
(f)

例, Dijkstra算法的执行过程

- ◆ 加了阴影的边表明前驱值 (当前  $u$  出发的边)。
- ◆ 黑色的结点属于  $S$ , 白色的结点属于  $V - S$ 。加阴影的结点是算法下一次循环将选择加入  $S$  的点。

(a) 初始状态  $S = \{ \}$

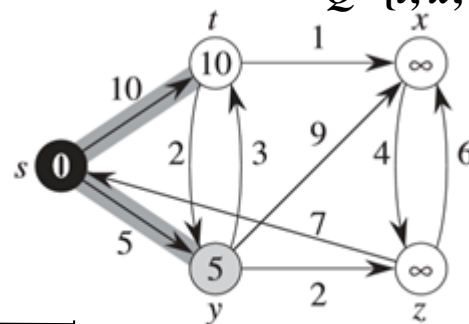
$Q = \{s, t, x, y, z\}$



(a)

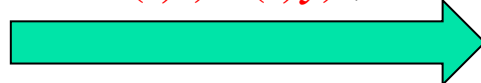
(b) 首次选择后  $S = \{s\}$

$Q = \{t, x, y, z\}$



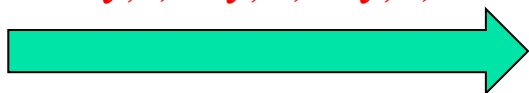
(b)

在  $Q$  中选择的结点  $s$   
对边  $(s, t)$ 、 $(s, y)$  松弛



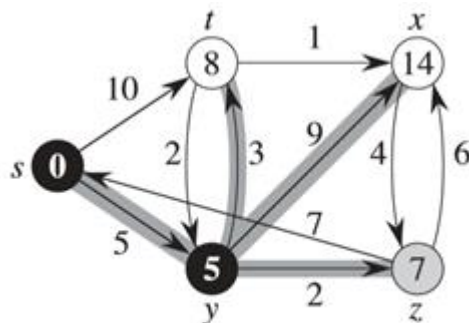
在  $Q$  中选择的结点  $y$

对边  $(y, t)$ 、 $(y, x)$ 、 $(y, z)$  松弛



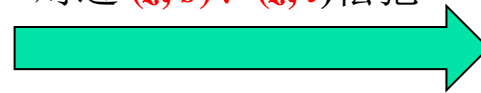
(c) 第二次选择后  $S = \{s, y\}$

$Q = \{t, x, z\}$



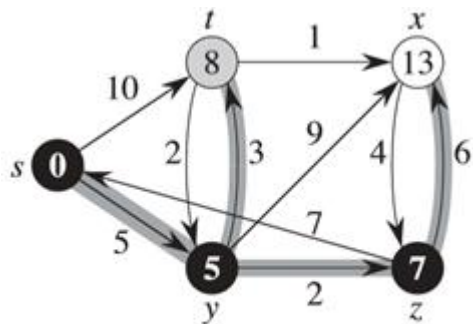
(c)

在  $Q$  中选择的结点  $z$   
对边  $(z, s)$ 、 $(z, t)$  松弛



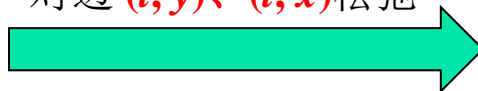
(d) 第三次选择后  $S = \{s, y, z\}$

$Q = \{t, x\}$



(d)

在  $Q$  中选择的结点  $t$   
对边  $(t, y)$ 、 $(t, x)$  松弛



.....

- 加了阴影的边表明前驱值(当前  $u$  出发的)。
- 黑色的结点属于  $S$ , 白色的结点属于  $V-S$ 。加阴影的结点是算法下一次循环将选择加入  $S$  的点

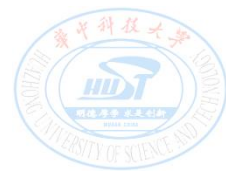
**定理24.6** (Dijkstra算法的正确性) 设Dijkstra算法运行在带权重的有向图  $G = (V, E)$  上。如果所有边的权重为非负值, 则在算法终止时, 对于所有结点  $u \in V$ , 有  $u.d = \delta(s, u)$ 。

**证明:** (利用循环不变式证明)

**循环不变式:** 算法在 *while* 语句的每次循环开始前, 对于  $S$  中的每个结点  $u$  有  $u.d = \delta(s, u)$ 。

**现在只需证明:** 对于每个结点  $u \in V$ , 当  $u$  被加入到  $S$  时, 有  $u.d = \delta(s, u)$ 。因为一旦  $u$  加入  $S$ , 就不再修正  $u.d$ , 根据上界性质, 该等式将一直保持。





## 证明过程:

- (1) 初始化: 初始时,  $S = \emptyset$ , 因此循环不变式直接成立。
- (2) 保持: (在每次循环中, 对于加入到集合  $S$  中的结点  $u$  而言,  
 $u.d = \delta(s, u)$  )。

## 反证法证明:

设结点  $u$  是上述算法计算过程中出现的**第一个**在加入到集合  $S$  时  $u.d \neq \delta(s, u)$  的结点, 之前的结点  $k$  都有  $k.d = \delta(s, k)$ , 并都加入了  $S$ 。

由于  $s$  是第一个加入  $S$  中的结点, 并且  $s.d = \delta(s, s) = 0$ , 所以可以合理假设  $u \neq s$  并且  $u$  即将加入  $S$  时有  $S \neq \emptyset$  (因为  $S$  中至少包含了  $s$ )。

另外可以**合理假设**  $u.d \neq \infty$ 。

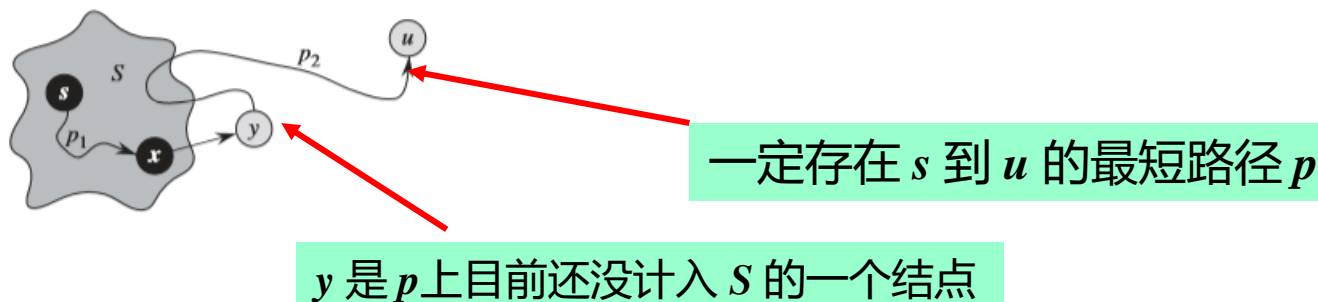
(因为根据算法规则,  $u.d$  是目前  $V-S$  中最小的权值估计, 若  $u.d = \infty$  则表示  $s$  不可达  $u$ , 也就意味着  $V-S$  中的其它所有结点都不可达, 算法可以终止了)。

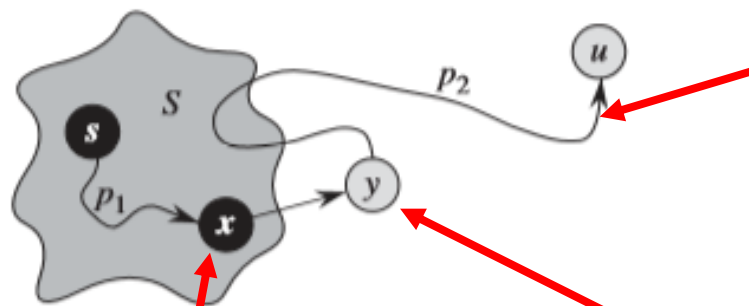
同时,  $u$  能加入集合  $S$  表示从  $s$  出发, 经过之前的某个结点  $k$  可以到达  $u$ , 则对  $u$  而言, **必存在至少一条从  $s$  到  $u$  的路径**, 而这样也意味着**一定存在从  $s$  到  $u$  的最短路径**。

(只是不是现在找到的这条路径 —— 因为  $u.d \neq \delta(s, u)$ , 所以现在找到的这条路径不是最短路径)

记**从  $s$  到  $u$  的最短路径**为  $p$ 。则  $p$  上至少存在一个结点现在还没有被算法处理到。

因为根据假设处理到  $u$  之前的结点都有  $k.d = \delta(s, k)$ , 所以如果  $p$  中  $u$  之前的结点都被算法处理了, 则它们都将有  $k.d = \delta(s, k)$ , 根据收敛性质, 此时松弛到  $u$  的边就必有  $u.d = \delta(s, u)$ , 与此假设的情况矛盾, 所以  $p$  上至少存在一个结点现在还没有被算法处理。





在将结点  $u$  加入集合  $S$  之前,  $p$  连接的是集合  $S$  中的结点  $s$  和  $V-S$  中的结点  $u$ 。

考虑路径  $p$  上第一个满足  $y \in V-S$  的结点  $y$ , 并设  $y$  的前驱是结点  $x$ ,  $x \in S$ , 如图所示。路径分为三段:

$$s \xrightarrow{p_1} x \rightarrow y \xrightarrow{p_2} u$$

注:  $x$  有可能是  $s$  本身,  $y$  也有可能是  $u$  本身 (事实上也只能是  $u$  本身, 除非  $\delta(y, u) = 0$ )。

则: 在结点  $u$  加入到集合  $S$  时, 应有  $y.d = \delta(s, y)$ 。

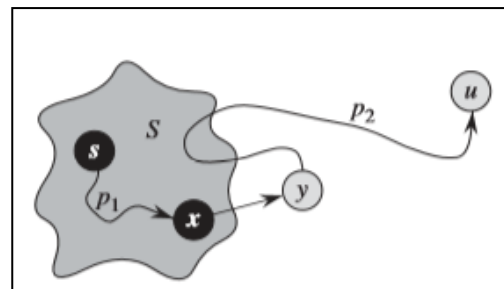
这是因为  $x \in S$ ,  $u$  是第一个  $u.d \neq \delta(s, u)$  的结点, 在将  $x$  加入到集合  $S$  时, 有  $x.d = \delta(s, x)$ ,  $y$  是  $x$  的邻接点, 所以此时边  $(x, y)$  将被松弛。由于  $y$  是最短路径  $p$  上的结点, 根据**最短路径的最优子结构性**和收敛性质, 此时应有  $y.d = \delta(s, y)$ 。

因为结点  $y$  是从结点  $s$  到结点  $u$  的一条最短路径上位于  $u$  前面的一个结点，所以应有  $\delta(s, y) \leq \delta(s, u)$ ，因此

$$y.d = \delta(s, y)$$

$$\leq \delta(s, u)$$

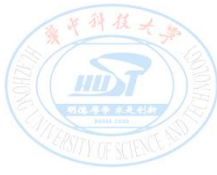
$$\leq u.d \quad (\text{by the upper-bound property})$$



而在算法第5行选择结点  $u$  时，结点  $u$  和  $y$  都还在集合  $V - S$  里，所以有  $u.d \leq y.d$  (思考为什么)。因此上述的不等式事实上只能是等式，即：  $y.d = \delta(s, y) = \delta(s, u) = u.d$ 。

这与假设的  $u.d \neq \delta(s, u)$  相矛盾，因此假设不成立。

所以， $u$  在加入  $S$  时，将有  $u.d = \delta(s, u)$ ，该等式在随后的循环中一直保持。



终止：在算法终止时， $Q = \emptyset$ ， $S = V$ 。

根据前面**保持性的证明**，终止时对于所有的结点  $u \in V$ ，有  $u.d = \delta(s, u)$ 。

证毕。

**推论24.7** 如果在带权重的有向图  $G = (V, E)$  上运行**Dijkstra算法**，其中的权重皆为非负值，源结点为  $s$ ，则在算法终止时，**前驱子图  $G_\pi$  是一棵根结点为  $s$  的最短路径树**。

从**定理24.6**和前驱子图性质可证（证明略）。

```

DIJKSTRA( $G, w, s$ )
1  INITIALIZE-SINGLE-SOURCE( $G, s$ )
2   $S = \emptyset$ 
3   $Q = G.V$ 
4  while  $Q \neq \emptyset$ 
5       $u = \text{EXTRACT-MIN}(Q)$ 
6       $S = S \cup \{u\}$ 
7      for each vertex  $v \in G.Adj[u]$ 
8          RELAX( $u, v, w$ )

```

# Dijkstra算法运行时间分析

(1) 根据算法的处理规则，每个结点  $u$  仅被加入集合  $S$  一次，邻接链表  $Adj[u]$  中的每条边在整个运行期间也只被检查一次。因此**算法第7-8行的 *for* 循环中，RELAX总共执行了  $|E|$  次**（即松弛的总次数）。

(2) Dijkstra算法的总运行时间依赖于**最小优先队列  $Q$**  的实现：

如果用**线性数组**（无序或者按序插入）实现，每次找  $d$  最小的结点  $u$  需要  $O(V)$  的时间，所以算法的总运行时间为  $O(V^2 + E) = O(V^2)$ 。

如果用**二叉堆**实现，每次找  $d$  最小的结点  $u$  需要  $O(\lg V)$  的时间，所以算法的总运行时间为  $O((V + E) \lg V)$ 。

如果用**斐波那契堆**实现，算法的总运行时间可改善至  $O(V \lg V + E)$



不管是**Bellman算法**还是**Dijkstra算法**，算法结束时（成功执行）都求出了每个结点的  $v.d$ 、 $v.\pi$ ，并得到前驱子图  $G_\pi$ 。怎么利用  $G_\pi$  找出从  $s$  出发至各个结点的最短路径上的结点序列呢？

上述计算过程结束后，对每个结点  $v \in V$  都求出了  $v.d$ 、 $v.\pi$ ，利用  $v.\pi$  反推，即可得到  $s$  至  $v$  路径上的结点序列。



## 24.4 差分约束系统和最短路径

### 线性规划问题：

给定一个  $m \times n$  的矩阵  $A$ 、一个  $m$  维向量  $b$  和一个  $n$  维向量  $c$ ，求一个  $n$  维向量  $x$ ，使得在  $Ax \leq b$  的约束下，使目标函数：

$$\sum_{i=1}^n c_i x_i$$

最大。

本节讨论线性规划的一个特例：**差分约束系统**。



**差分约束系统**中，矩阵  $A$  的每一行包括一个 **1** 和一个 **-1**，其它所有项都是为 **0**，由  $Ax \leq b$  给出的约束条件形式上是  $m$  个涉及  $n$  个变量的**差额限制条件** (difference constraints)，每个约束条件是以下简单的**线性不等式**：

$$x_j - x_i \leq b_k, \text{ 这里 } 1 \leq i, j \leq n, i \neq j, \text{ 并且 } 1 \leq k \leq m.$$

由这些**线性不等式**组成的**线性不等式组**称为**差分约束系统**。

例：求满足下列条件的

5 维向量  $x = (x_i)$ ：

$$\begin{bmatrix} 1 & -1 & 0 & 0 & 0 \\ 1 & 0 & 0 & 0 & -1 \\ 0 & 1 & 0 & 0 & -1 \\ -1 & 0 & 1 & 0 & 0 \\ -1 & 0 & 0 & 1 & 0 \\ 0 & 0 & -1 & 1 & 0 \\ 0 & 0 & -1 & 0 & 1 \\ 0 & 0 & 0 & -1 & 1 \end{bmatrix} \begin{bmatrix} x_1 \\ x_2 \\ x_3 \\ x_4 \\ x_5 \end{bmatrix} \leq \begin{bmatrix} 0 \\ -1 \\ 1 \\ 5 \\ 4 \\ -1 \\ -3 \\ -3 \end{bmatrix}$$

## 上述问题的一般形式：

$$\begin{bmatrix} 1 & -1 & 0 & 0 & 0 \\ 1 & 0 & 0 & 0 & -1 \\ 0 & 1 & 0 & 0 & -1 \\ -1 & 0 & 1 & 0 & 0 \\ -1 & 0 & 0 & 1 & 0 \\ 0 & 0 & -1 & 1 & 0 \\ 0 & 0 & -1 & 0 & 1 \\ 0 & 0 & 0 & -1 & 1 \end{bmatrix} \begin{bmatrix} x_1 \\ x_2 \\ x_3 \\ x_4 \\ x_5 \end{bmatrix} \leq \begin{bmatrix} 0 \\ -1 \\ 1 \\ 5 \\ 4 \\ -1 \\ -3 \\ -3 \end{bmatrix} \rightarrow \begin{cases} x_1 - x_2 \leq 0, \\ x_1 - x_5 \leq -1, \\ x_2 - x_5 \leq 1, \\ x_3 - x_1 \leq 5, \\ x_4 - x_1 \leq 4, \\ x_4 - x_3 \leq -1, \\ x_5 - x_3 \leq -3, \\ x_5 - x_4 \leq -3. \end{cases}$$

线性不等式组

- 找一组满足上述约束条件的解。
- 问题可能的答案有： $x = (-5, -3, 0, -1, -4)$ 、

$x' = (0, 2, 5, 4, 1)$  等，有**多组可行解**。

## 这些解之间的一个基本关系是：

**引理24.8** 设向量  $x = (x_1, x_2, \dots, x_n)$  为差分约束系统  $Ax \leq b$  的一个解，设  $d$  为任意常数，则  $x + d = (x_1 + d, x_2 + d, \dots, x_n + d)$  也是该差分约束系统的一个解。

证明：

根据约束条件，对每对  $x_i$  和  $x_j$ ， $(x_i + d) - (x_j + d) = x_i - x_j$ 。因此若向量  $x$  满足  $Ax \leq b$ ，则向量  $x + d$  也满足  $Ax \leq b$ 。 ■



# 差分约束系统的应用举例

未知变量  $x_i$  代表事件发生的时间，每个约束条件给出的是在两个时间点之间**必须间隔的最短时间**。

比如，设这些事件是产品装配过程中的步骤：

如果在时刻  $x_1$  使用一种需要两个小时才能风干的粘贴剂，则下一个步骤需要 2 个小时后等粘贴剂干了之后才能在时刻  $x_2$  安装部件。这样就有约束条件  $x_2 \geq x_1 + 2$ ，亦即  $x_1 - x_2 \leq -2$  等。

# 求解差分约束系统：

**约束图**：对给定的差分约束系统  $Ax \leq b$ ，其对应的约束图是一个带权重的**有向图**  $G = (V, E)$ ，这里，

$$V = \{v_0, v_1, \dots, v_n\}$$

$v_0$  是一个虚设的结点，作为整个图的源点。

其余结点  $v_i$  每个对应一个未知变量  $x_i$ ,  $i = 1, 2, \dots, n$ .

$$E = \{(v_i, v_j) : x_j - x_i \leq b_k \text{ 是一个约束条件}\}$$

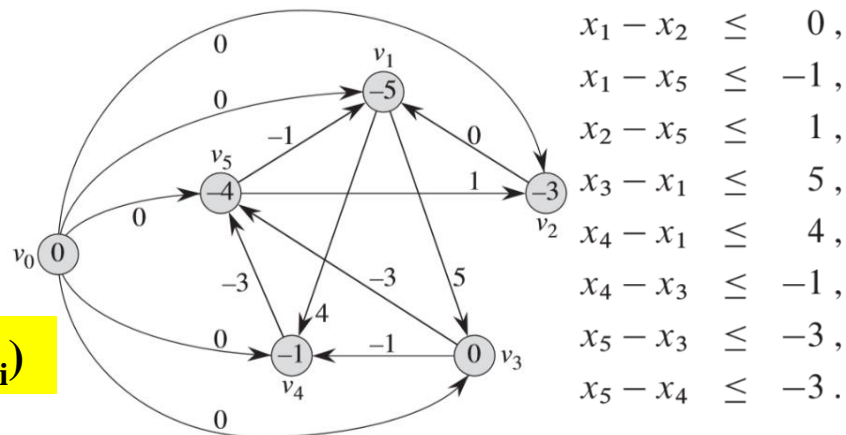
$$\cup \{(v_0, v_1), (v_0, v_2), (v_0, v_3), \dots, (v_0, v_n)\}$$

- ◆ 每个不等式对应一条边：若有  $x_j - x_i \leq b_k$ ，则约束图中存在一条从  $v_i$  指向  $v_j$  的有向边  $\langle v_i, v_j \rangle$ ；
- ◆ 同时存在从  $v_0$  到其它所有结点的边  $\langle v_0, v_i \rangle$ ,  $i = 1, 2, \dots, n$ 。

- (1) **结点集合**: 约束图中引入一个额外的结点  $v_0$ , 从其出发可以到达其它所有结点。结点集合  $V$  由代表每个变量  $x_i$  的结点  $v_i$  和额外的结点  $v_0$  组成。
- (2) **边集合**: 边集合  $E$  包含代表每个差分约束不等式的边, 同时包含  $v_0$  到其它所有结点的边  $(v_0, v_i), i = 1, 2, \dots, n$ 。
- (3) **边的权重**: 如果  $x_j - x_i \leq b_k$  是一个差分约束条件, 则边  $(v_i, v_j)$  的权重记为  $w(v_i, v_j) = b_k$ , 而从  $v_0$  出发到其它结点的边的权重  $w(v_0, v_j) = 0$ 。

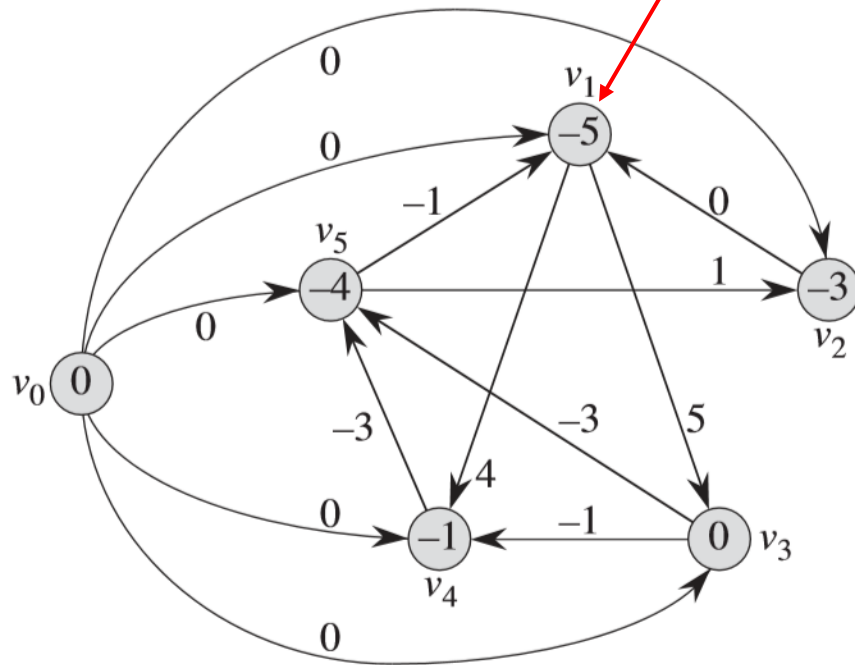
上例的差分约束系统的约束图如下:

结点中的数值是  $\delta(v_0, v_i)$



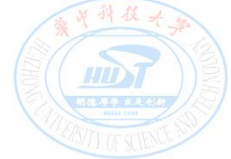
# 上例的差分约束系统的约束图如下：

结点中的数值是  $\delta(v_0, v_i)$



$$\begin{aligned} x_1 - x_2 &\leq 0, \\ x_1 - x_5 &\leq -1, \\ x_2 - x_5 &\leq 1, \\ x_3 - x_1 &\leq 5, \\ x_4 - x_1 &\leq 4, \\ x_4 - x_3 &\leq -1, \\ x_5 - x_3 &\leq -3, \\ x_5 - x_4 &\leq -3. \end{aligned}$$

- ◆ 结点集合  $V$  由代表每个变量  $x_i$  的结点  $v_i$  和额外的结点  $v_0$  组成
- ◆ 边集合  $E$  包含代表每个差分约束条件的边，同时包含  $v_0$  到其他所有结点的边  $(v_0, v_i)$ 。
- ◆ 边  $(v_i, v_j)$  的权重记为  $w(v_i, v_j) = b_k$ ,  $w(v_0, v_j) = 0$ 。



**定理24.9** 给定差分约束系统  $Ax \leq b$ , 设  $G = (V, E)$  是该差分约束系统所对应的约束图。

(1) 如果图  $G$  不包含权重为负值的回路, 则

$$x = (\delta(v_0, v_1), \delta(v_0, v_2), \delta(v_0, v_3), \dots, \delta(v_0, v_n))$$

是该系统的一个可行解。

(2) 如果图  $G$  包含权重为负值的回路, 则该系统没有可行解。



**证明：** 考虑任意一条边  $(v_i, v_j) \in E$ ，根据**三角不等式**有：

$$\delta(v_0, v_j) \leq \delta(v_0, v_i) + w(v_i, v_j),$$

即：  $\delta(v_0, v_j) - \delta(v_0, v_i) \leq w(v_i, v_j)$

令：  $x_i = \delta(v_0, v_i)$  和  $x_j = \delta(v_0, v_j)$ ，则  $x_i$  和  $x_j$  就是满足差分约束条件  $x_j - x_i \leq w(v_i, v_j)$  的量。

$$x_j - x_i \leq b_k$$

$$w(v_i, v_j) = b_k$$

因此，  $x = (\delta(v_0, v_1), \delta(v_0, v_2), \delta(v_0, v_3), \dots, \delta(v_0, v_n))$  是问题的一个可行解。

(前提： **不包含权重为负的环路**) 。

而如果约束图**包含权重为负值的环路**，不失一般性，设权重为负值的环路为  $c = \langle v_1, v_2, \dots, v_k \rangle$ ，这里  $v_1 = v_k$ 。

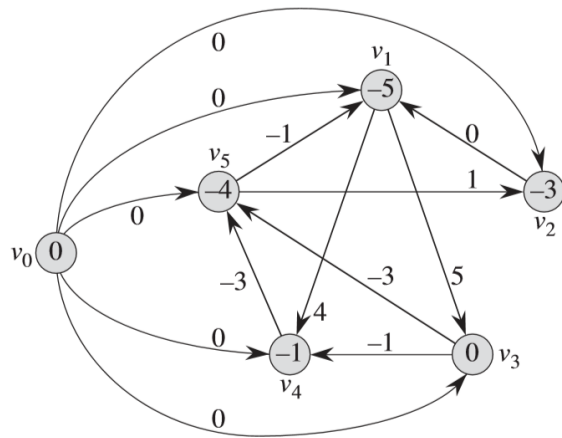
**环路  $c$**  对应下面的差分约束条件组：

$$\begin{aligned} x_2 - x_1 &\leq w(v_1, v_2), \\ x_3 - x_2 &\leq w(v_2, v_3), \\ &\vdots \\ x_{k-1} - x_{k-2} &\leq w(v_{k-2}, v_{k-1}), \\ x_k - x_{k-1} &\leq w(v_{k-1}, v_k). \end{aligned}$$

- ◆ 不等式左侧求和，等于 0。（ $v_1 = v_k$ ，所有  $v_i$  相互抵消）
  - ◆ 不等式右侧求和，等于环路  $c$  的权重  $w(c)$ ，且有： $0 \leq w(c)$
- 这与  $c$  是权重为负值的环路相矛盾。故该组不等式无解。

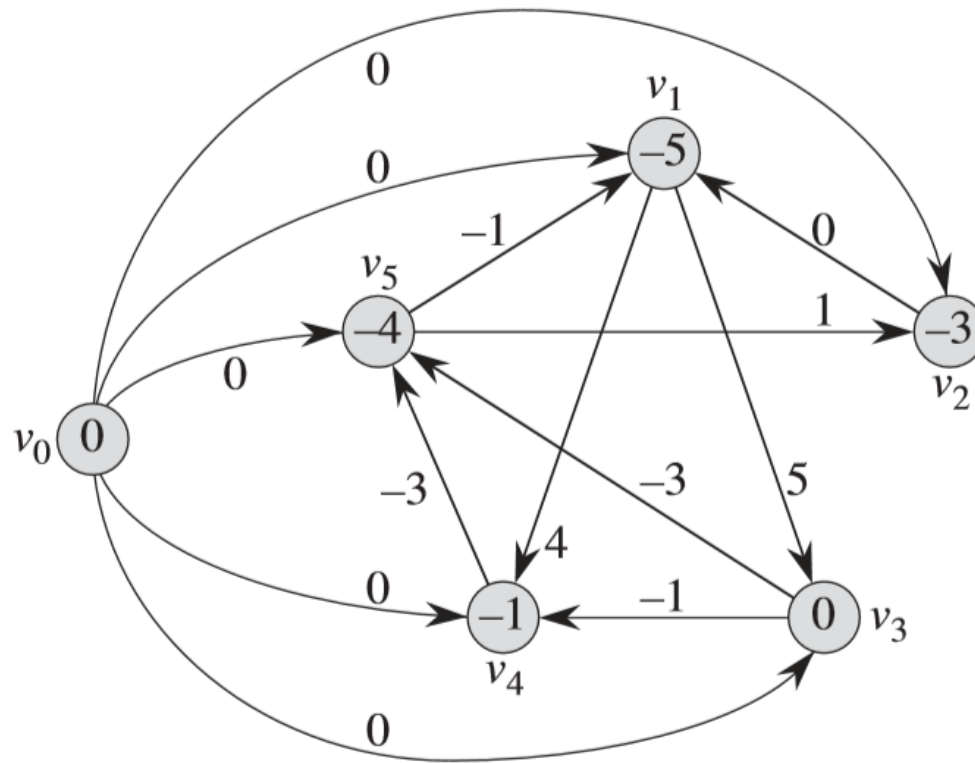
## 求解差分约束系统：

求解差分约束系统就是**求约束图中  $v_0$  到其它各结点的最短路径**，而因为约束图中有负权值的边，所以要用 **Bellman-Ford 算法**。



- ◆ 如果Bellman-Ford算法返回TRUE，则最短路径权重  $\delta(v_0, v_i)$ ,  $i=1, 2, \dots, n$ ，给出该系统的一个可行解。
- ◆ 如果算法返回FALSE，则该系统无解。

注：因为约束图中**含有从源结点  $v_0$  到其他所有结点的边**，所以若图中存在权重为负值的环路，则一定可以从  $v_0$  可达。



- ◆ 结点中的数值是  $\delta(v_0, v_i)$ ;
- ◆ 最短路径权重提供的一个可行解是:  $x = (-5, -3, 0, -1, -4)$ ;
- ◆ 同时根据**引理24.8**, 对于任意常数  $d$ ,  $(d-5, d-3, d, d-1, d-4)$  也是问题的解。